

東京工業大学 正員 河野二夫
東京工業大学大学院〇学生員 幸田源二

§1. はじめに

今まで越波に関しては、多くの研究者による研究があり、定性的なことはかなりわかる。ではいざが定量的に現象をとり扱っていけるものは少ない。筆者らは、越波の現象に斜面時にあける、せきの考え方を用いることにして、越波量を理論的にもとめることを試みてきた。

今回は、この考え方応用範囲に適用できることをのべ、その上に重要な役割をしていき打上げ高の性質につけて説明した。また越波量の確定の元となる、斜面上での重複波現象についての、理論的な解析をも試み、これをもとて、越波量をもとめる簡単な方法を説明した。

§2. せきの考え方

今堤防は、せきであると考え、越波はさきの内側の水位が非定常である場合の越流であると考える。一周期当たりの越波量は、(2.1)式で表わされる。

$$Q = BH_0^{\frac{3}{2}} \sqrt{2g} \cdot \frac{2}{3} m k^{\frac{3}{2}} \int_{\frac{T}{2}}^{\frac{T}{2}} \left(F_{(t)} - \frac{Z_0}{BH_0} \right)^{\frac{5}{2}} dt$$

ここで Q は一周期当たりの越波量、 B は水路巾、 H_0 は沖波波高、 g は重力の加速度、 m は定常流のせきの越流係数、 k は打上げ高と冲波波高の比 $k = Z/H_0$ 、 Z は堤防上水高、 Z_0 は静水面からの土岸高、 $F_{(t)}$ は時間函数で $F_{(t)} = \frac{1}{T} f(t)$ 、 $f(t)$ は静水面からの天端高、 t は一周期中にあける越波の初まりの時刻、 t_0 は一周期中の越波終了時刻。(2.1)式を考えると、せきの堤防の上流側の位置のエネルギー高に相当する水 H_0 で、越波していくときの越流係数に相当するものが $\frac{2}{3} m k^{\frac{3}{2}} \int_{\frac{T}{2}}^{\frac{T}{2}} \left(F_{(t)} - \frac{Z_0}{BH_0} \right)^{\frac{5}{2}} dt$ と仮定する。 T は波の周期である。

H_0 、 $F_{(t)}$ は波形が与えられれば定まる。打上げ高は $TBH_0 \sqrt{2gH_0}$ は波形や斜面の傾斜角、風など、おろそかエネルギーたる影響を生じる要素に対して変化するものと考えられる。従って波のいろいろの要素を考慮して見たしわせしたと考える。(2.1)式を無次元化すると(2.2)式となる。

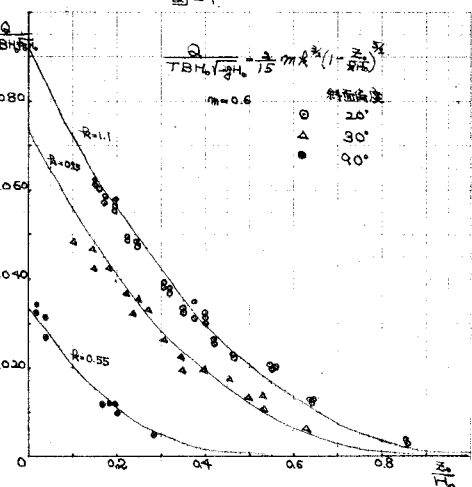
$$\frac{Q}{TBH_0 \sqrt{2gH_0}} = \frac{2}{3} m k^{\frac{3}{2}} \frac{1}{T} \int_{\frac{T}{2}}^{\frac{T}{2}} \left(F_{(t)} - \frac{Z_0}{BH_0} \right)^{\frac{5}{2}} dt \quad (2.2)$$

波高三角形で近似すると(2.2)式は(2.3)式となる。

$$\frac{Q}{TBH_0 \sqrt{2gH_0}} = \frac{2}{15} m k^{\frac{3}{2}} \left\{ 1 - \frac{Z_0}{BH_0} \right\}^{\frac{5}{2}} \quad (2.3)$$

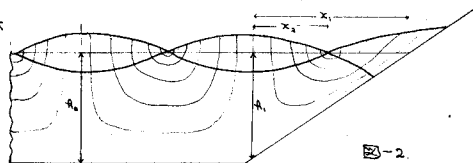
§3. 斜面上での重複波について

越波を生じてないときの状態、すなわち重複波を起しているときの斜面上の水の動きは一応問題となる。図-2のように水平底水路の先に斜面水付いている型内で水の動きについては図-2内の流線のようにならうとする。逆三角形内での水粒子の動きについては Lamb の角 120° の場合に提案してい



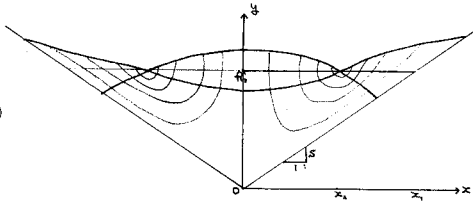
これを参考として、往復の角に適用できることに (3.1) 式を仮定する。直し以は厳しく考えた定数である。

$$\phi + i\psi = iA(x + i\alpha y)^3 + B \quad (3.1)$$



斜面勾配を α とすると、境界条件 $y=0$ で $x=0, \pm \frac{1}{2}H_0$ 斜面の条件 $\partial\phi/\partial y = g\frac{\partial\phi}{\partial x}$ と $y=0$ で $\partial^2\phi/\partial x^2 = 0$ を用いると、

$$\phi = A \left\{ \alpha^3 y^3 - 3\alpha^2 y x^2 + 2\alpha^3 R_i^3 \right\} \cos(\theta x + \epsilon) \quad (3.2)$$



となる。各方向の水の変位は

$$z = \frac{1}{2} \left[\frac{\partial \phi}{\partial x} \right]_{y=R_i} = -\frac{3A\alpha\alpha^2 R_i^3}{2} \left\{ 1 - \frac{x^2}{\alpha^2 R_i^2} \right\} \sin(\theta x + \epsilon) = -\frac{H_0}{2} \left(1 - \frac{x^2}{R^2} \right) \sin(\theta x + \epsilon) \quad (3.3)$$

逆縦は $y = \text{Const}$ たり定まり、 $y = S\sqrt{x^2 + C_x^2}$ で表わせる。C は定数。

斜上げ高は (3.3) 式に $x = R_i y = 13\alpha R_i$ と代入するとことにより、 $\theta R = H_0$ となる。次に図-2について考えると、等のできる位置は (3.3) 式より $x^2/R^2 = 0.578$ となりこれは斜面角度によらない。 \approx で向應となるのは H_0 と H_1 の値を結びつけることである。そこで簡単の為にナリーンの公式を使用して斜面上に入り、てもそれがエネルギーには変化がないものとする。

$$\frac{H_1}{H_0} = \left(\frac{R_i}{R} \right)^{\frac{1}{2}} \cdot \left(\frac{R_i}{H_0} \right)^{\frac{1}{2}} \quad \theta = \frac{R}{H_0} = \frac{R}{H_1} \cdot \frac{H_1}{H_0} = \left(\frac{R_i}{H_0} \right)^{\frac{1}{2}}$$

がの水平位置については、本間にねじハニケル関数表示を使用して求めると、摩擦損失や、風の影響のない場合については斜上げ高は計算より求めることが可能となる。

54. 実験結果

堤防前面の法面の傾斜角が $20^\circ, 30^\circ, 90^\circ$ の場合を行い、W.E.S. の傾斜角 9.5° の場合や原風の実験でも参考にした。波の性質は周期波である。斜上げ高はは傾斜角、風の強度と同じであるとの実験範囲の平均をとる。mは正確には解らなかったが、越波を考えて0.6と仮定する。実験を整理すると図-1となる。よく計算値と合っている。斜面角と越波量の関係については、今まで斜面角が 20° ~ 30° の間にあって越波量の最大を示すかは限界勾配が存在すると云われているが、同時に斜上げ高においても越波の周期波の実験において 20° ~ 30° の間で最大水頭となるところ、越波量を水頭について表示すること水妥当が示される。

55.まとめ

越波の現象をせきの考え方を用いることにより、て充分に説明できた。

斜面角度、斜面上の摩擦、風の強度などのために波のエネルギー状態を変かうとする要素については、それに対するものは、波の斜上げ高はを用いることによりて説明される。

56. 参考文献

横尾、河野「海岸構造の越波に関する基礎的研究(1)」、第13回海岸工学講演会

Lamb. Hydrodynamics P 442

吉田、「河面上の波の斜面上に衝突する実験的研究」、第13回海岸工学講演会